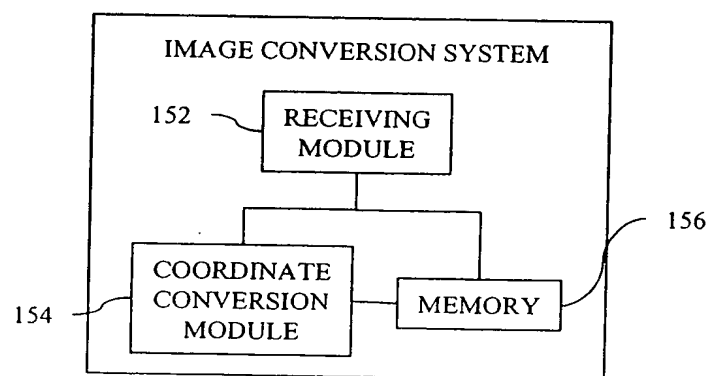
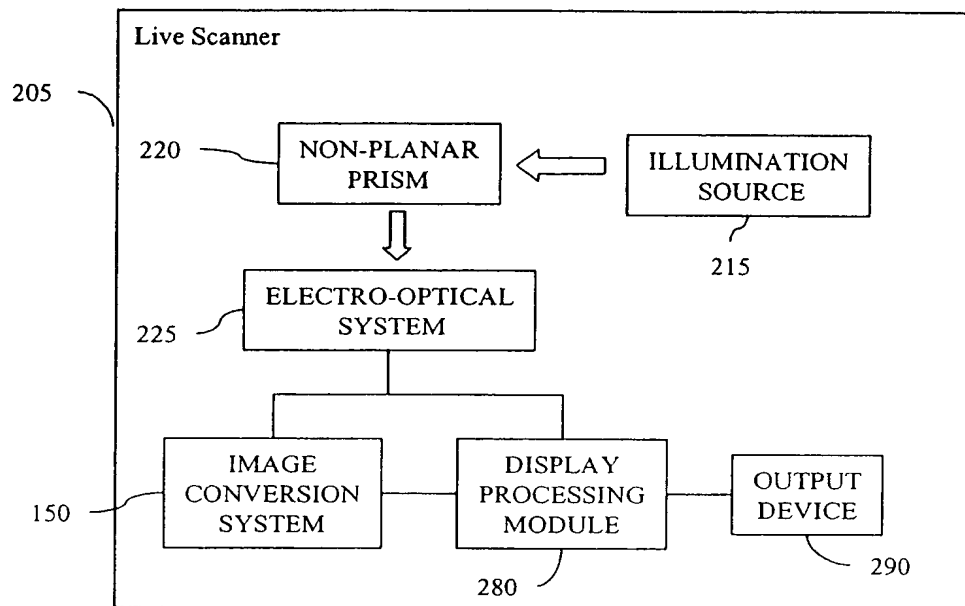


150



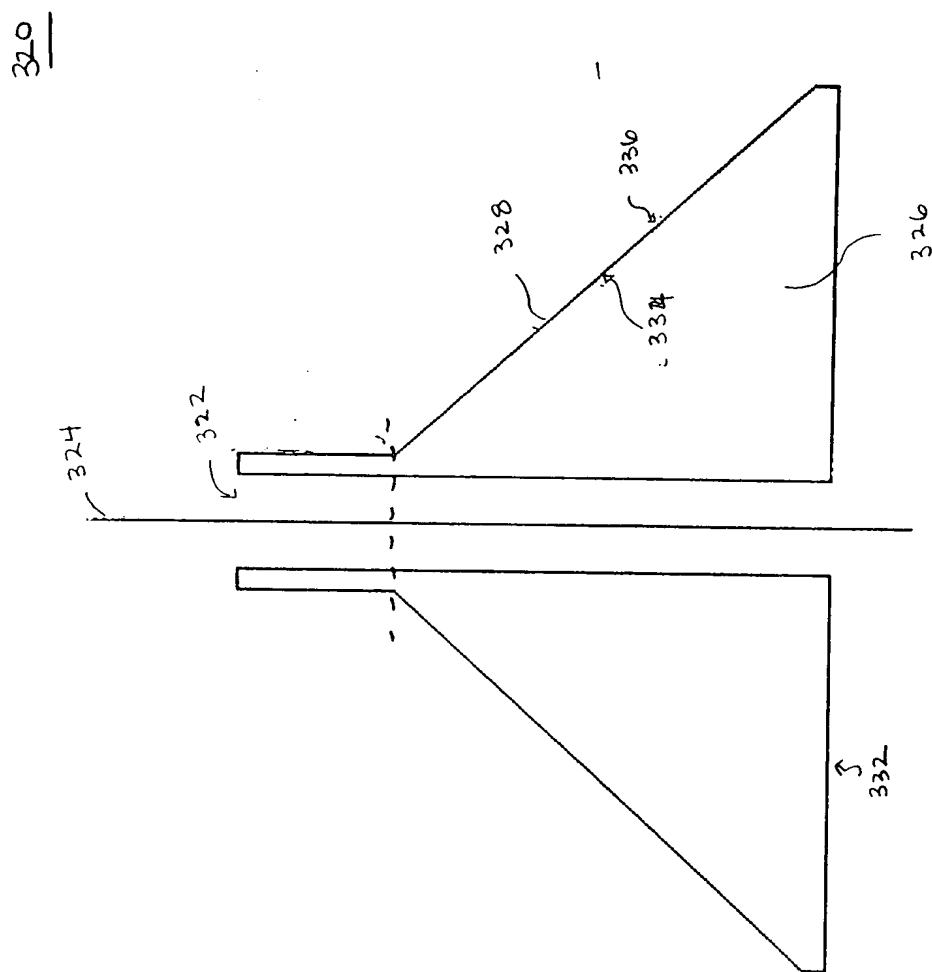
**FIG. 1**

200



**FIG. 2**

FIG. 3



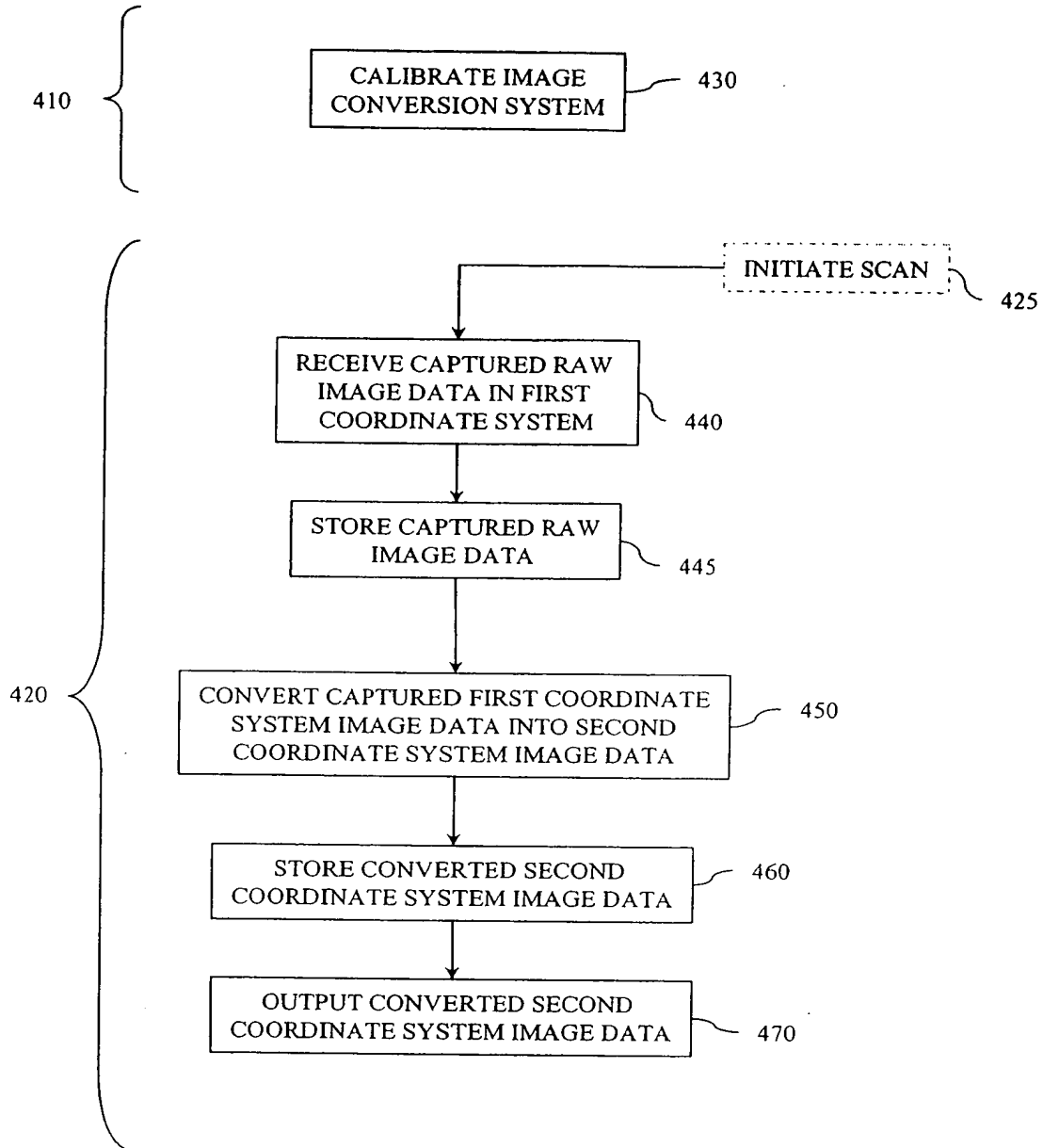


FIG. 4

0302-49.vsd/33

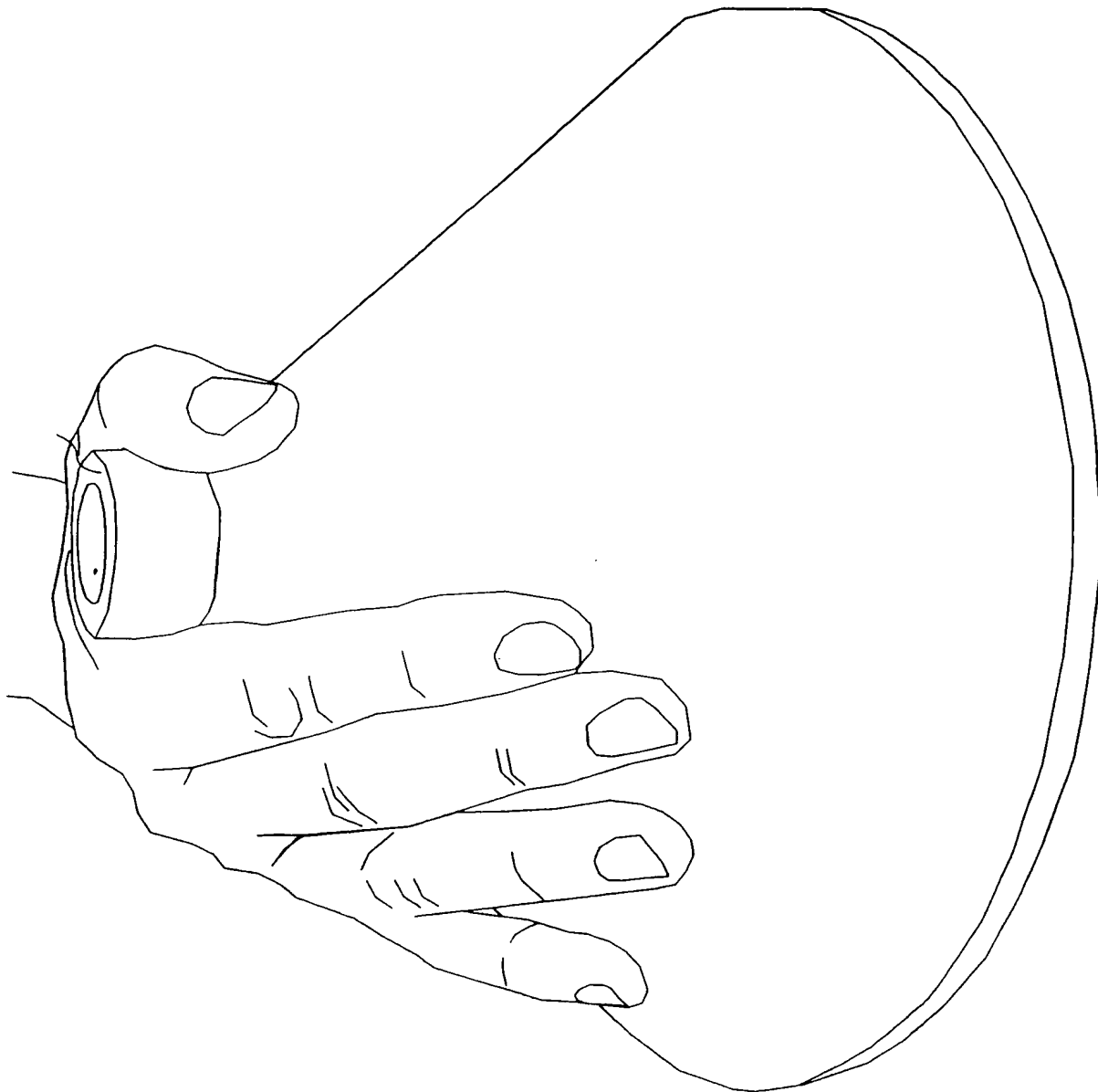
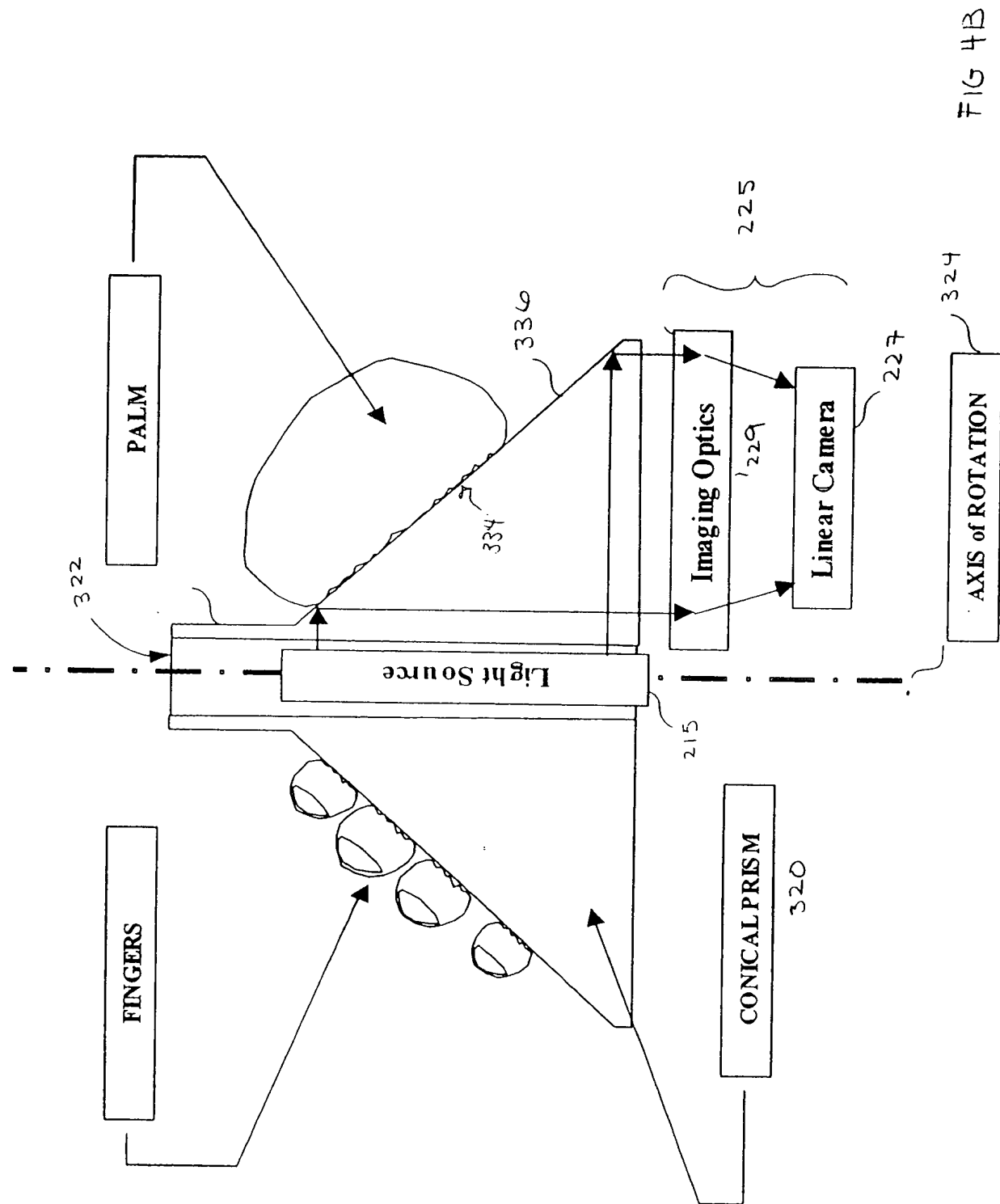
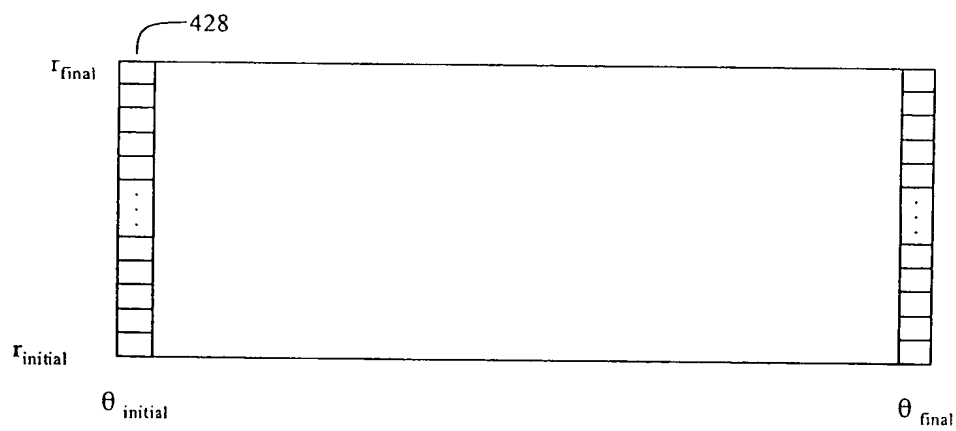
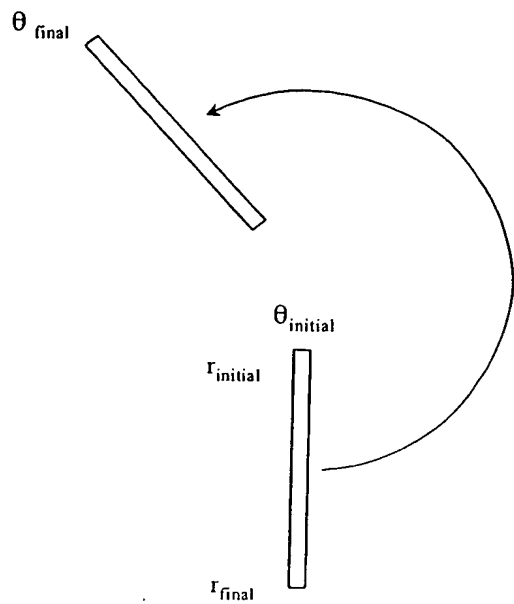


Fig. 4A

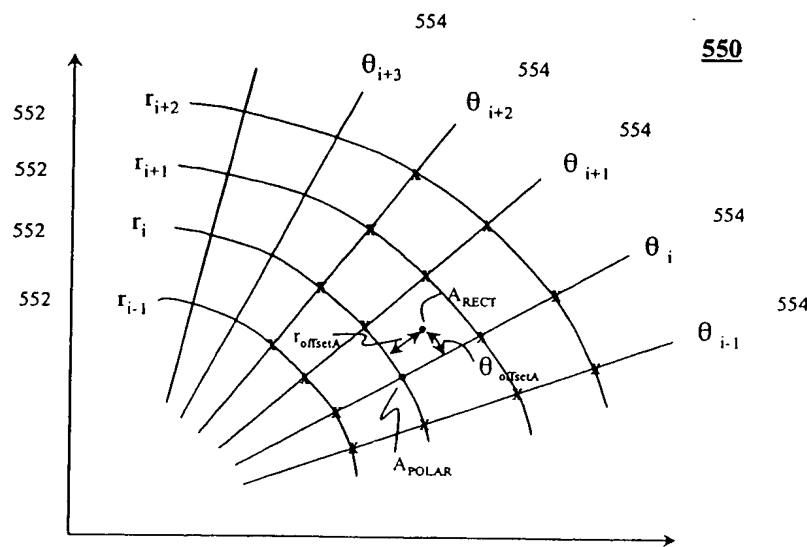


0302-49.vsd/14

F1G 43



**FIG. 4C**



**FIG. 5A**

570

572		574		576	
(x,y)	r	$\theta$	$r_{\text{offset}}$	$\theta_{\text{offset}}$	
$x_A, y_A$	$r_i$	$\theta_i$	$r_{\text{offset}A}$	$\theta_{\text{offset}A}$	

578

**FIG. 5B**

410

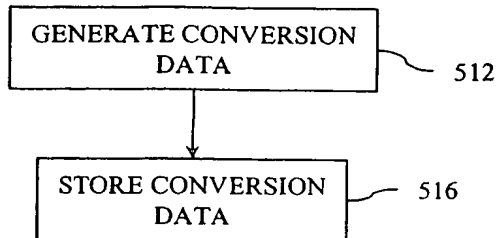


FIG. 5

450

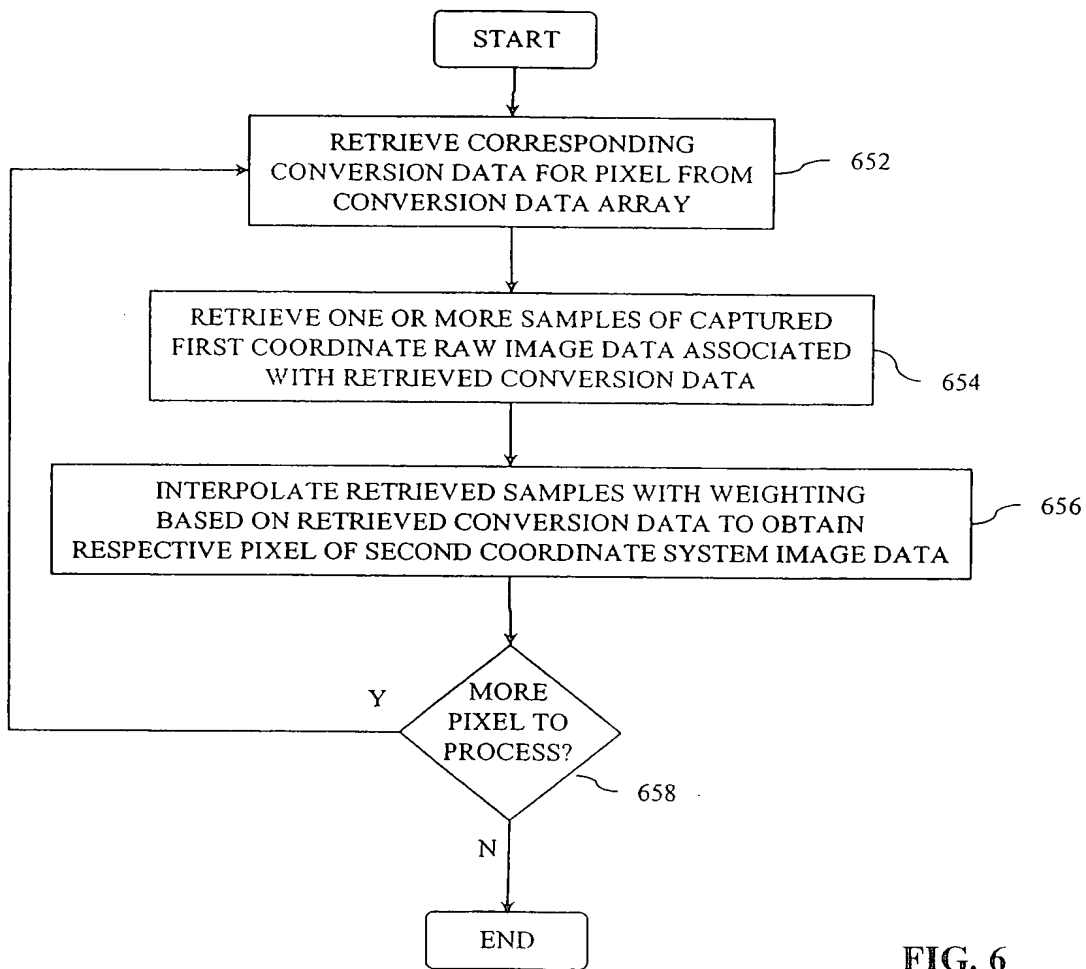
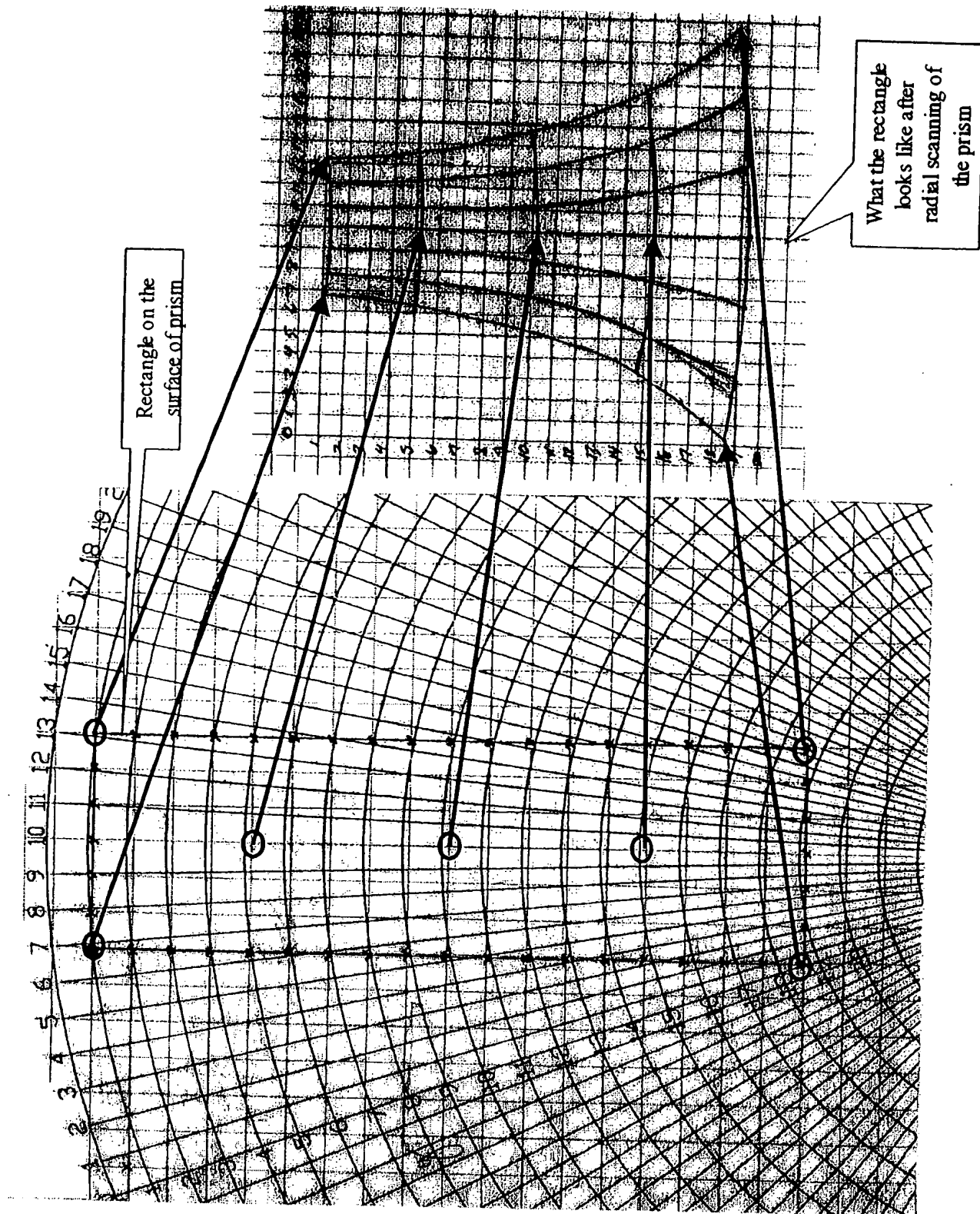


FIG. 6

FIG. 7



800

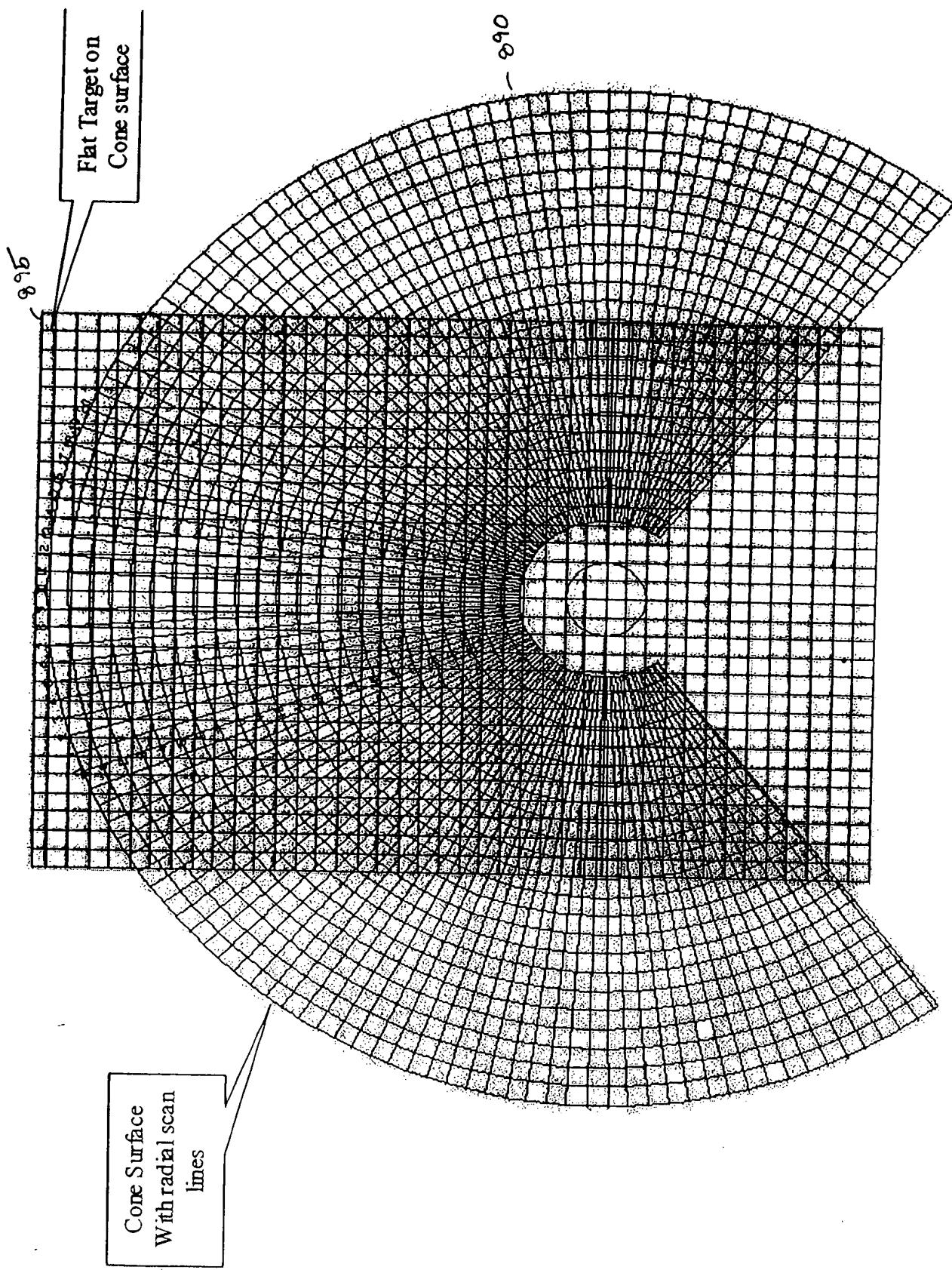


FIG. 8

900

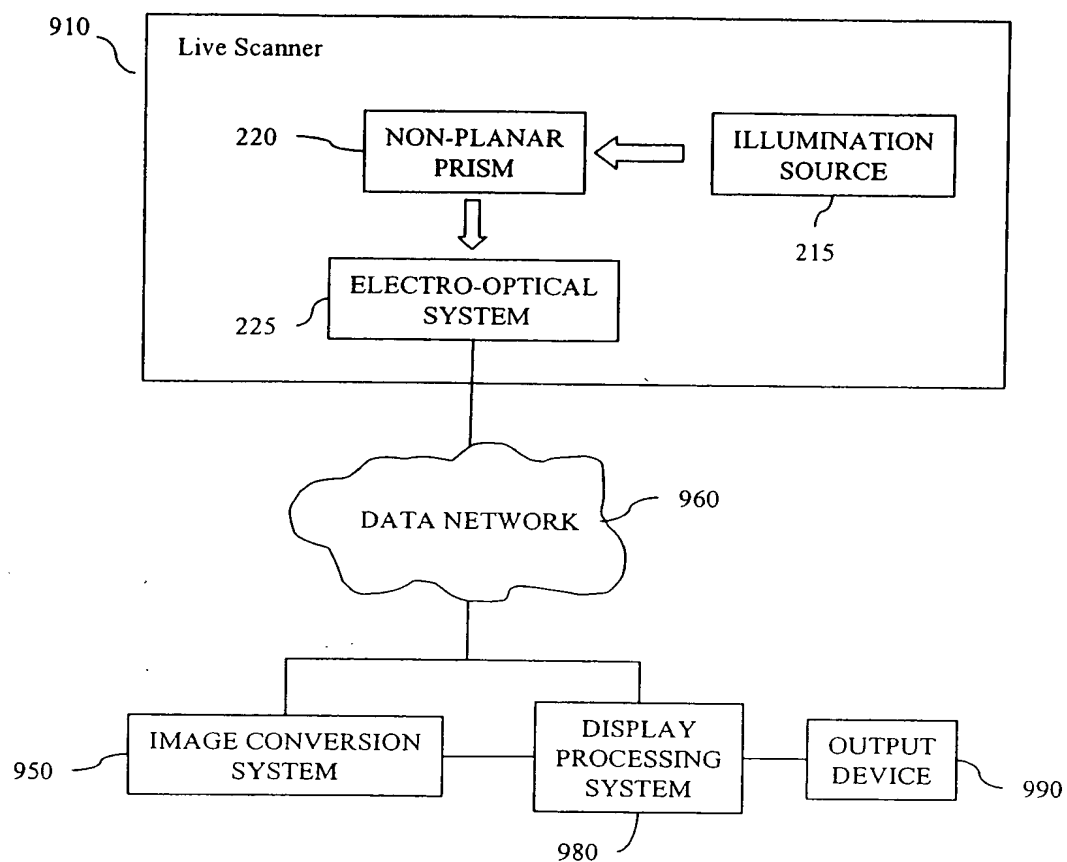


FIG. 9

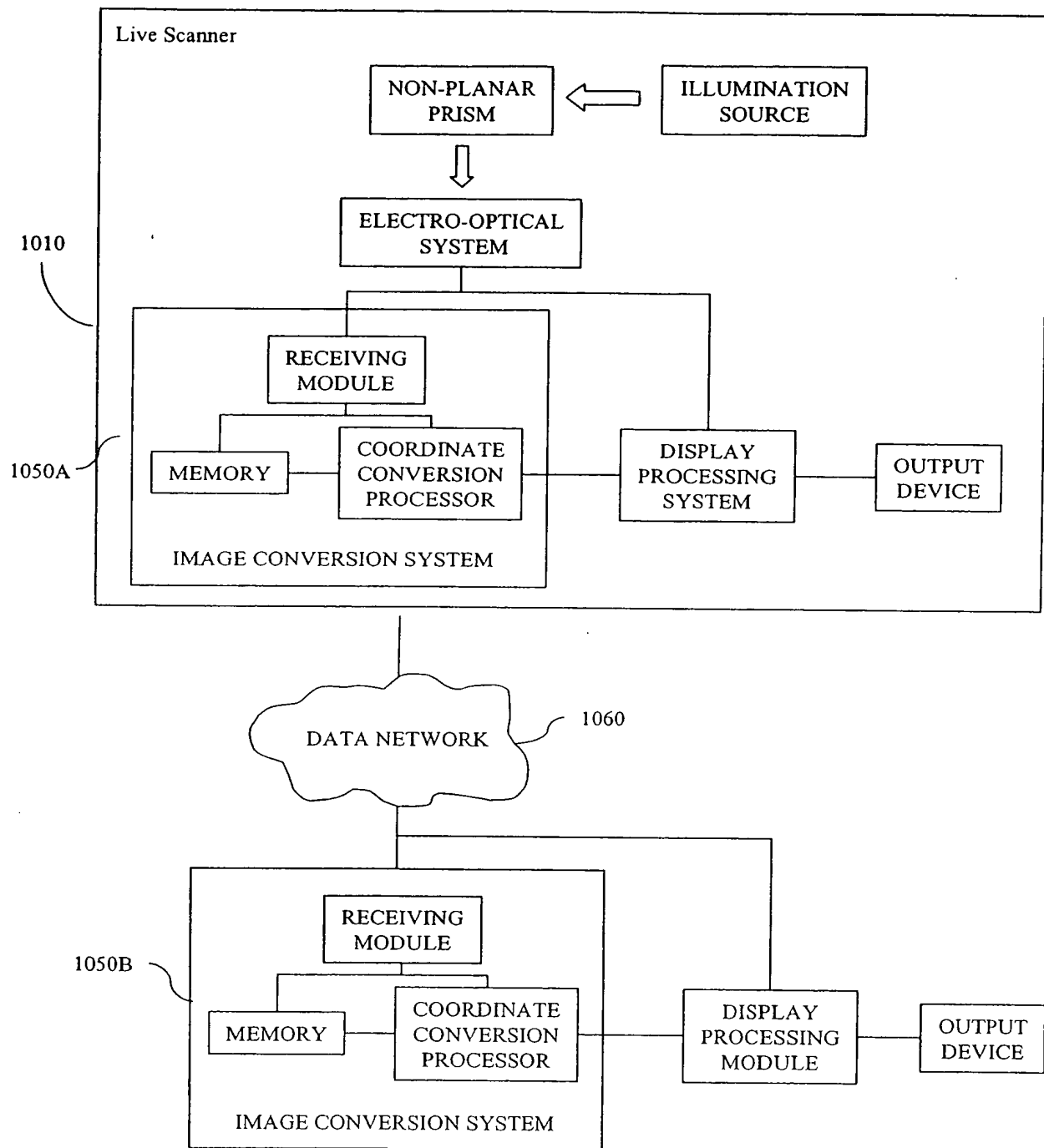


FIG. 10